

Journée NN2022

Odysée Merveille

21/04/2022

CREATIS

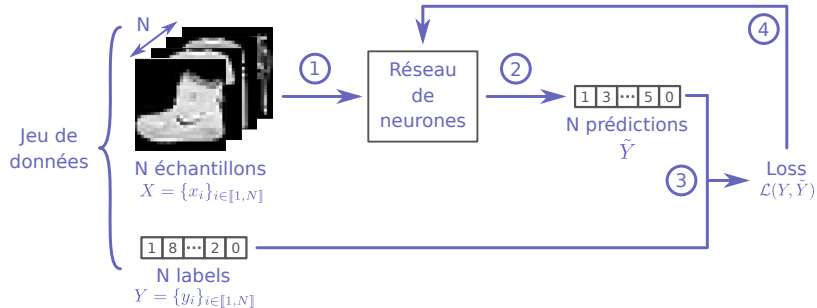
A. Entraînement

B. Évaluation

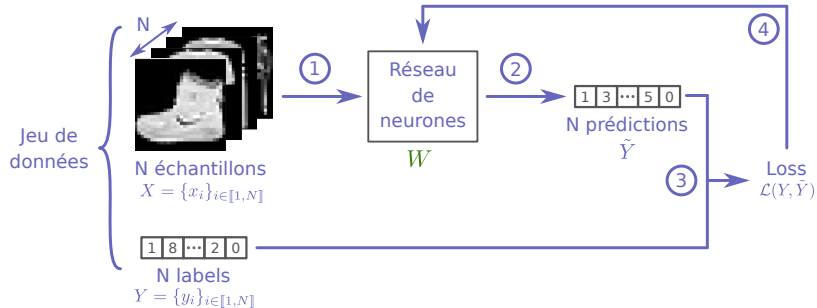
C. Influence des hyperparamètres

D. Présentation du TP

Retour sur l'entraînement



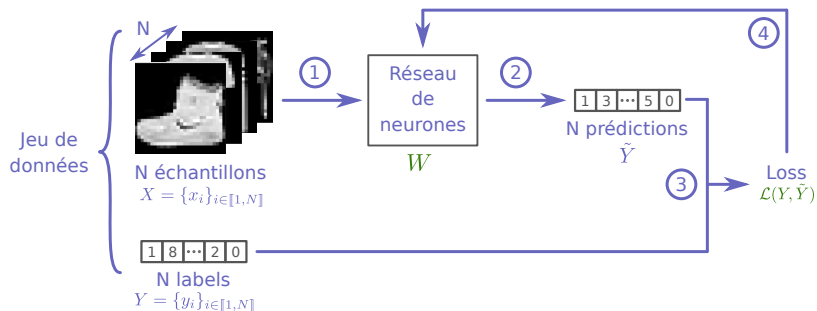
Retour sur l'entraînement



Paramètres :

- Paramètres du réseau W (appris durant l'entraînement)

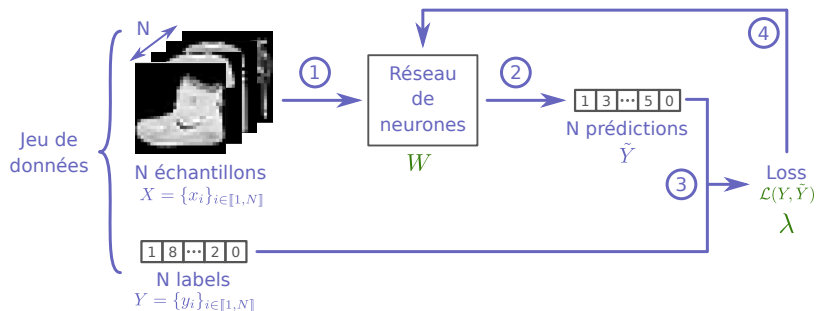
Retour sur l'entraînement



Paramètres :

- Paramètres du réseau W (appris durant l'entraînement)
- Hyperparamètres (à fixer avant l'entraînement)
 - ▶ Type de Loss $\mathcal{L}(y_i, \tilde{y}_i)$

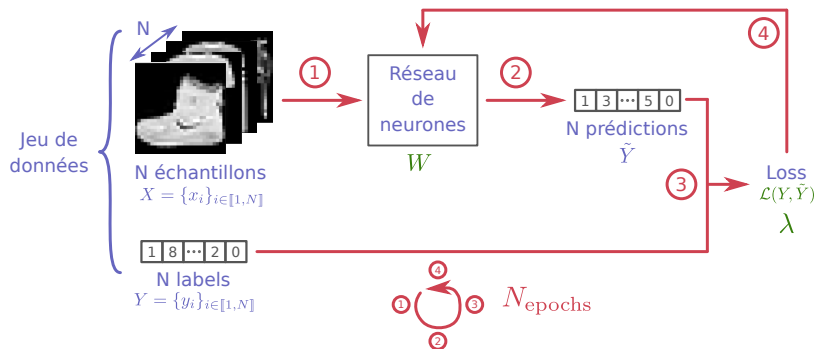
Retour sur l'entraînement



Paramètres :

- Paramètres du réseau W (appris durant l'entraînement)
- Hyperparamètres (à fixer avant l'entraînement)
 - ▶ Type de Loss $\mathcal{L}(y_i, \tilde{y}_i)$
 - ▶ Learning rate λ

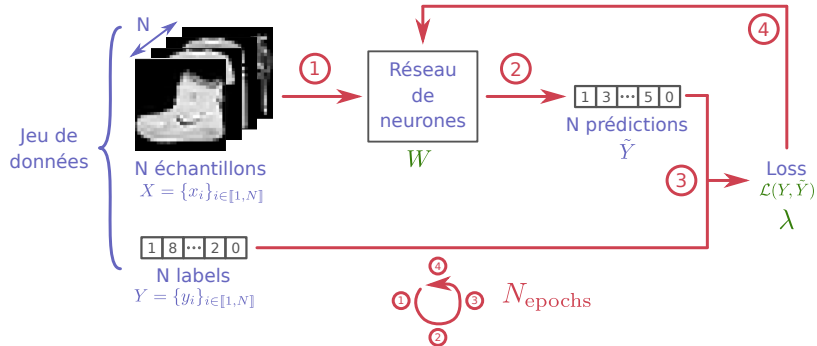
Retour sur l'entraînement



Paramètres :

- Paramètres du réseau W (appris durant l'entraînement)
- Hyperparamètres (à fixer avant l'entraînement)
 - ▶ Type de Loss $\mathcal{L}(y_i, \tilde{y}_i)$
 - ▶ Learning rate λ
 - ▶ Nombre d'epochs N_{epochs}

Retour sur l'entraînement

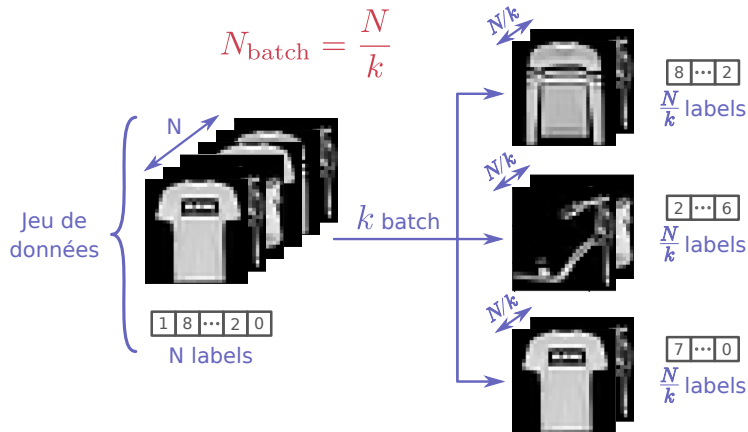


Paramètres :

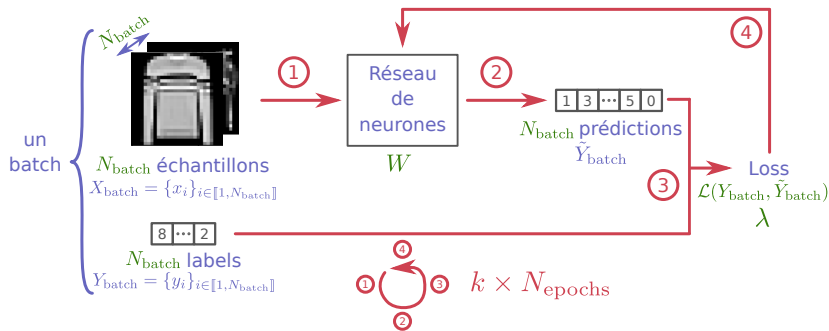
- Paramètres du réseau W (appris durant l'entraînement)
- Hyperparamètres (à fixer avant l'entraînement)
 - ▶ Type de Loss $\mathcal{L}(y_i, \tilde{y}_i)$
 - ▶ Learning rate λ
 - ▶ Nombre d'epochs N_{epochs}
 - ▶ Taille de batch N_{batch}

Batch

- **Batch** : Un sous-ensemble d'un jeu de données de taille fixée à l'avance, N_{batch} , sur lequel un réseau est entraîné.



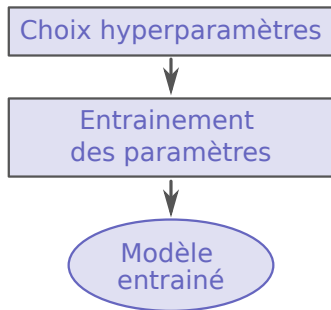
Entraînement par batch



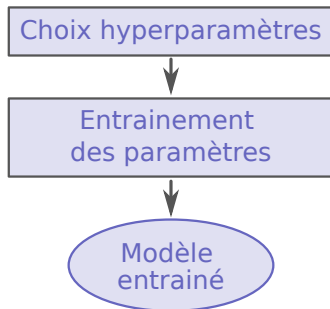
Entraînement par batch :

- Moins couteux en mémoire
- Même nombre de données vues en 1 epoch (*i.e.* N)
1 epoch = k batch de taille N_{batch}
- Les poids du réseau sont mis à jour k fois plus souvent.
→ La convergence de l'apprentissage est souvent plus rapide.

Étapes d'entraînement



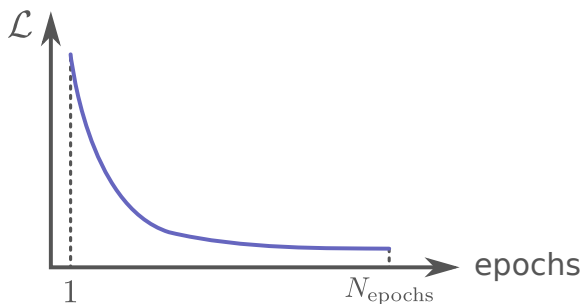
Étapes d'entraînement



- Comment savoir si mon modèle s'entraîne bien ?
→ **Visualisation de la courbe d'entraînement**

Courbes d'entraînement

Évolution de la loss en fonction du nombre d'epoch d'entraînement



- **Comportement attendu** : Au fil des epochs, la loss doit décroître et converger vers un minimum. Lorsque la loss n'évolue plus, l'entraînement est terminé.

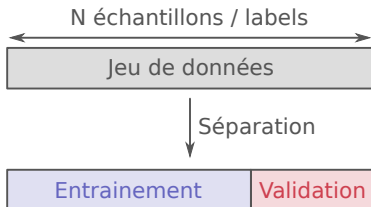
Suivi de l'entraînement - Jeu de validation

- Comment savoir si le modèle entraîné fonctionnera sur des données différentes du jeu d'entraînement ?
c.-à-d. comment estimer **l'erreur de généralisation** ?

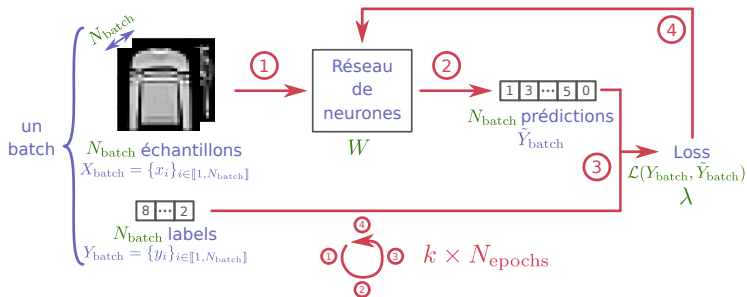
Suivi de l'entraînement - Jeu de validation

- Comment savoir si le modèle entraîné fonctionnera sur des données différentes du jeu d'entraînement ?
c.-à-d. comment estimer **l'erreur de généralisation** ?

—> Appliquer le modèle en cours d'entraînement sur de nouvelles données non utilisées pour l'entraînement : **jeu de validation**.



Entraînement avec validation



■ Séparation des données en jeu d'entraînement et de validation

■ Pour chaque epoch

▶ Pour chaque batch d'entraînement

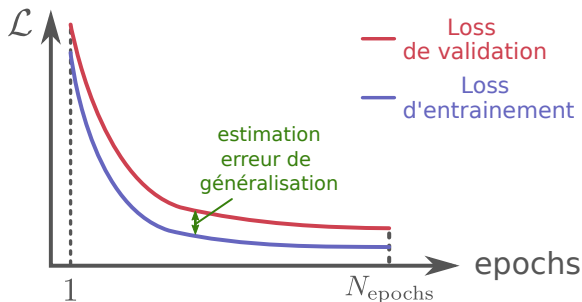
- Prédiction du batch (étapes 1 et 2)
- Calcul de la loss (étape 3)
- Mise à jour des poids par rétropropagation (étape 4)

▶ Pour chaque batch de validation

- Prédiction du batch (étape 1 et 2)
- Calcul de la loss (étape 3)

} Pas de rétropropagation !

Courbe de validation

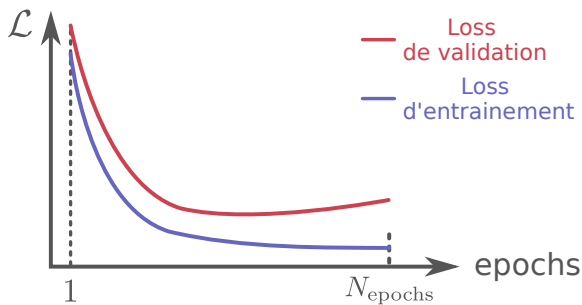


■ Comportement attendu :

- ▶ La loss de validation est plus grande de celle d'entraînement
- ▶ La différence entre les loss d'entraînement et de validation ne doit pas être trop grande pour s'assurer d'avoir un réseau qui généralisera bien.

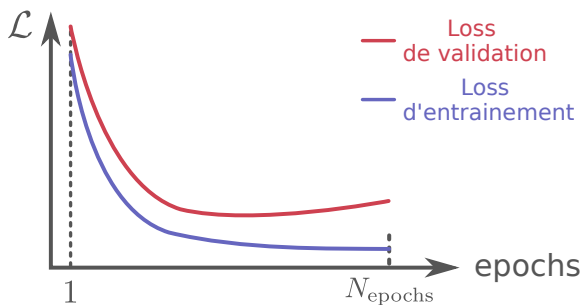
Courbe de validation

- Que se passe-t-il lors de cet apprentissage ?



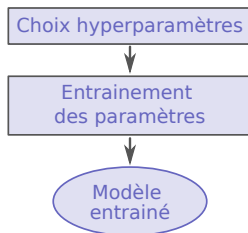
Courbe de validation

- Que se passe-t-il lors de cet apprentissage ?



- La loss de validation augmente à partir d'un certain nombre d'epochs
→ **Surapprentissage** (Overfitting)
- **Surapprentissage** : Le réseau apprend des caractéristiques précises du jeu d'entraînement qui ne se retrouvent pas dans d'autres données (e.g. jeu de validation). Équivalent d'un apprentissage "par coeur".

Étapes d'entraînement



■ Suivi de l'entraînement

→ Évolution de la loss d'entraînement

■ Suivi de la généralisation du réseau entraîné

→ Évolution de la loss de validation

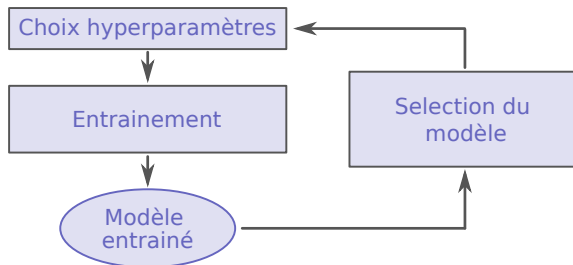
Choix d'un modèle

- **Comment obtenir le “meilleur” modèle ?**

Choix d'un modèle

■ Comment obtenir le "meilleur" modèle ?

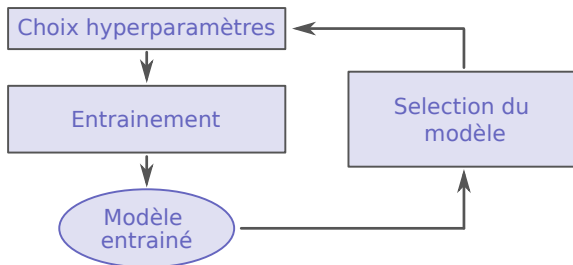
→ Entraînement avec différents jeux d'hyperparamètres et sélection du "meilleur" modèle



Choix d'un modèle

■ Comment obtenir le "meilleur" modèle ?

→ Entraînement avec différents jeux d'hyperparamètres et sélection du "meilleur" modèle

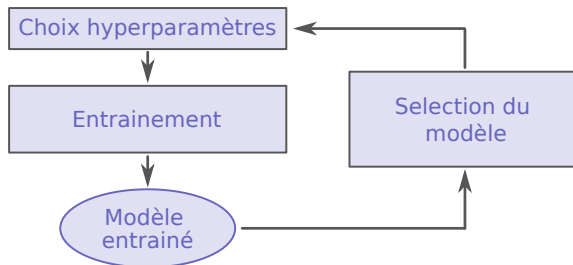


- **"Meilleur modèle"** : Modèle généralisant le mieux, *i.e.* celui avec la plus faible loss de validation

Choix d'un modèle

■ Comment obtenir le “meilleur” modèle ?

→ Entraînement avec différents jeux d'hyperparamètres et sélection du “meilleur” modèle



■ **“Meilleur modèle”** : Modèle généralisant le mieux, *i.e.* celui avec la plus faible loss de validation

■ Utilisation du jeu de validation :

- ▶ Suivi de l'entraînement
- ▶ Sélection d'un modèle

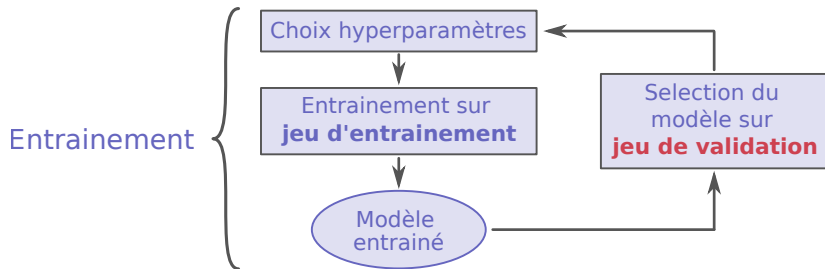
A. Entraînement

B. Évaluation

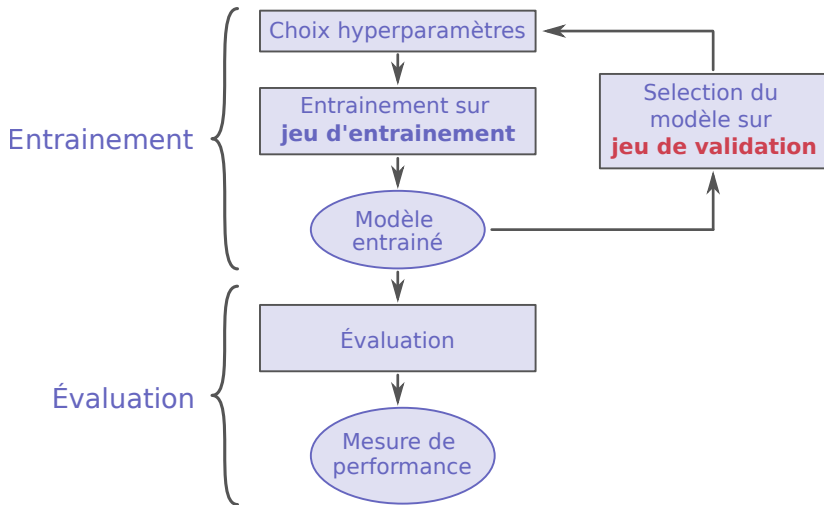
C. Influence des hyperparamètres

D. Présentation du TP

Pipeline d'apprentissage profond



Pipeline d'apprentissage profond



Comment évaluer les performances d'un réseau ?

- Évaluation basée sur des **metriques** choisies en fonction de l'application d'intérêt.

Comment évaluer les performances d'un réseau ?

- Évaluation basée sur des **metrics** choisies en fonction de l'application d'intérêt.

Exemples de métriques classiques :

■ Métriques de régression

- ▶ Erreur quadratique moyenne (MSE)
- ▶ Peak Signal-to-Noise Ratio (PSNR)
- ▶ Structural Similarity (SSIM)

■ Métriques de classification

- ▶ Accuracy
- ▶ Dice / F1
- ▶ Intersection over union (IoU)
- ▶ Sensibilité
- ▶ Spécificité
- ▶ Précision

} Basées sur la **Matrice de confusion**

Matrice de confusion binaire

4 types de résultat possibles pour une tâche de **classification binaire** :

| | | Classe prédite | |
|-------|---------|----------------|----------|
| | | Positive | Négative |
| Label | Négatif | FP | VN |
| | Positif | VP | FN |

- **FP**: Faux positif
- **VN**: Vrai négatif
- **VP**: Vrai positif
- **FN**: Faux négatif

Matrice de confusion binaire

4 types de résultat possibles pour une tâche de **classification binaire** :

| | | Classe prédite | |
|-------|---------|----------------|----------|
| | | Positive | Négative |
| Label | Négatif | FP | VN |
| | Positif | VP | FN |

- **FP**: Faux positif
- **VN**: Vrai négatif
- **VP**: Vrai positif
- **FN**: Faux négatif

Exemple de métriques :

$$Acc = \frac{VP + VN}{VP + VN + FP + FN}$$

$$\text{sensibilité} = \frac{VP}{VP + FN}$$

$$F1 = \frac{2 \times VP}{2VP + FP + FN}$$

$$\text{spécificité} = \frac{VN}{VN + FP}$$

Choix et interprétation des métriques

| | | Test 1 | | |
|-------|---------|----------------|----------|---|
| | | Classe prédite | | |
| | | Positive | Négative | |
| Label | Négatif | 25 | 25 | Acc = $\frac{50 + 25}{100} = 75\%$ |
| | Positif | 50 | 0 | sensibilité = $\frac{50}{50} = 100\%$ spécificité = $\frac{25}{50} = 50\%$ |

| | | Test 2 | | |
|-------|---------|----------------|----------|---|
| | | Classe prédite | | |
| | | Positive | Négative | |
| Label | Négatif | 0 | 50 | Acc = $\frac{25 + 50}{100} = 75\%$ |
| | Positif | 25 | 25 | sensibilité = $\frac{25}{50} = 50\%$ spécificité = $\frac{50}{50} = 100\%$ |

Choix et interprétation des métriques

| | | Test 1 | | |
|-------|---------|----------------|----------|---------------------------------------|
| | | Classe prédite | | |
| | | Positive | Négative | |
| Label | Négatif | 25 | 25 | $Acc = \frac{50 + 25}{100} = 75\%$ |
| | Positif | 50 | 0 | sensibilité = $\frac{50}{50} = 100\%$ |
| | | | | spécificité = $\frac{25}{50} = 50\%$ |

| | | Test 2 | | |
|-------|---------|----------------|----------|---------------------------------------|
| | | Classe prédite | | |
| | | Positive | Négative | |
| Label | Négatif | 0 | 50 | $Acc = \frac{25 + 50}{100} = 75\%$ |
| | Positif | 25 | 25 | sensibilité = $\frac{25}{50} = 50\%$ |
| | | | | spécificité = $\frac{50}{50} = 100\%$ |

Quel test choisir pour les applications suivantes ?

- **Test de dépistage du COVID**

- **Test traitement chimiothérapie**

Choix et interprétation des métriques

| | | Test 1 | | |
|-------|---------|----------------|----------|---|
| | | Classe prédite | | |
| | | Positive | Négative | |
| Label | Négatif | 25 | 25 | $Acc = \frac{50 + 25}{100} = 75\%$ |
| | Positif | 50 | 0 | sensibilité = $\frac{50}{50} = 100\%$ spécificité = $\frac{25}{50} = 50\%$ |

| | | Test 2 | | |
|-------|---------|----------------|----------|---|
| | | Classe prédite | | |
| | | Positive | Négative | |
| Label | Négatif | 0 | 50 | $Acc = \frac{25 + 50}{100} = 75\%$ |
| | Positif | 25 | 25 | sensibilité = $\frac{25}{50} = 50\%$ spécificité = $\frac{50}{50} = 100\%$ |

Quel test choisir pour les applications suivantes ?

■ **Test de dépistage du COVID** → Test 1

- ▶ Important de détecter tous les positifs
- ▶ Moins grave de surdétecter des négatifs

■ **Test traitement chimiothérapie** → Test 2

- ▶ Important de ne pas donner le traitement à des négatifs (très nocif)

Matrice de confusion multi-classes

Dans le cas d'une tâche de **classification multi-classes** :

p_{ij} : pourcentage d'échantillons de classe i
dont la prédiction est classe j

| | | Classe prédite | | | |
|-------|---|----------------|----------|----------|----------|
| | | 0 | 1 | 2 | 3 |
| Label | 0 | p_{00} | p_{01} | p_{02} | p_{03} |
| | 1 | p_{10} | p_{11} | p_{12} | p_{13} |
| | 2 | p_{20} | p_{21} | p_{22} | p_{23} |
| | 3 | p_{30} | p_{31} | p_{32} | p_{33} |

$$\sum_i p_{ij} = 1$$

Matrice de confusion multi-classes

Dans le cas d'une tâche de **classification multi-classes** :

p_{ij} : pourcentage d'échantillons de classe i
dont la prédiction est classe j

| | | Classe prédite | | | |
|-------|---|----------------|----------|----------|----------|
| | | 0 | 1 | 2 | 3 |
| Label | 0 | p_{00} | p_{01} | p_{02} | p_{03} |
| | 1 | p_{10} | p_{11} | p_{12} | p_{13} |
| | 2 | p_{20} | p_{21} | p_{22} | p_{23} |
| | 3 | p_{30} | p_{31} | p_{32} | p_{33} |

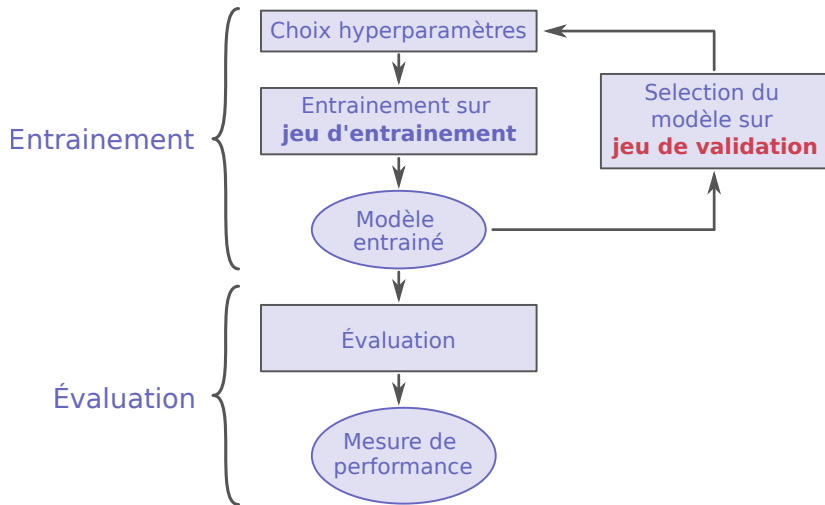
VP classe 0

FN classe 0

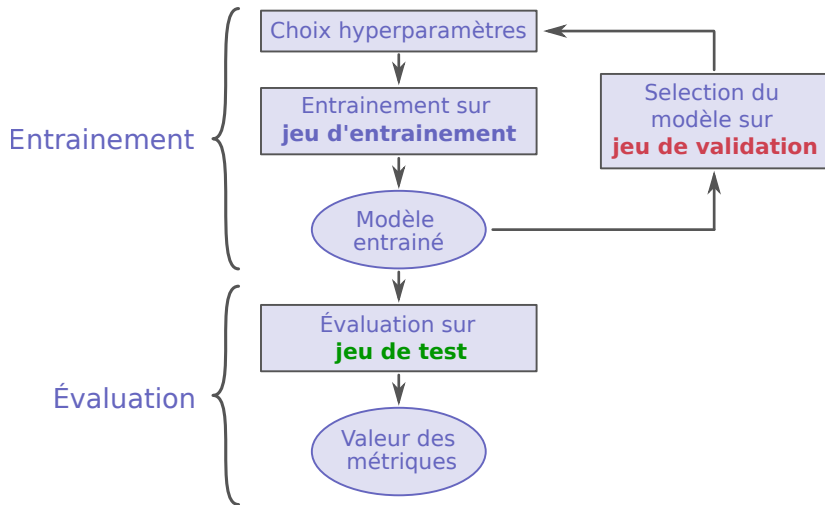
FP classe 0

VN classe 0

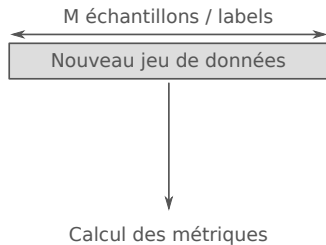
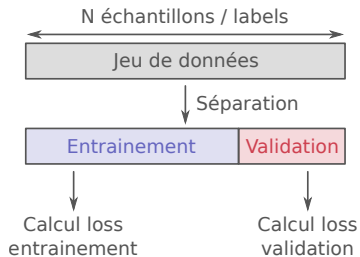
Pipeline d'apprentissage profond



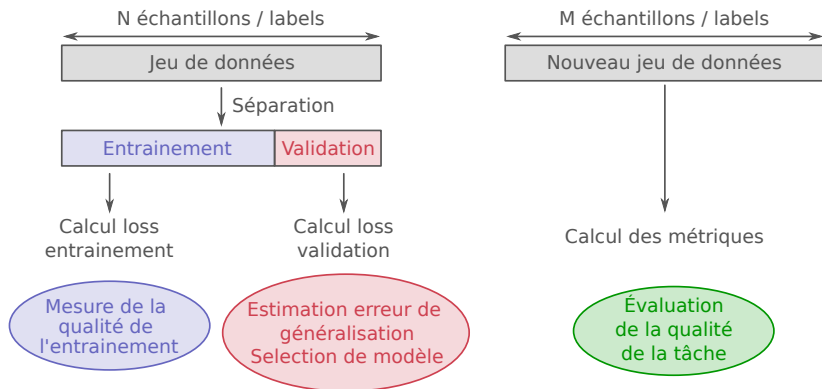
Pipeline d'apprentissage profond



Séparation des données

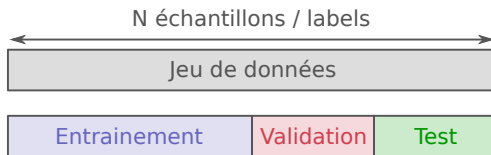


Séparation des données



Séparation des données

- En pratique, on dispose souvent d'un seul jeu de données
- Séparation en 3 selon des proportions fixées. Par exemple :
 - ▶ 70% jeu d'entraînement
 - ▶ 10% jeu de validation
 - ▶ 20% jeu de test



- Problèmes :
 - ▶ Réduit la quantité de données disponible pour l'entraînement
 - ▶ Pas d'estimation de la variabilité des résultats en fonction de la répartition entraînement/validation

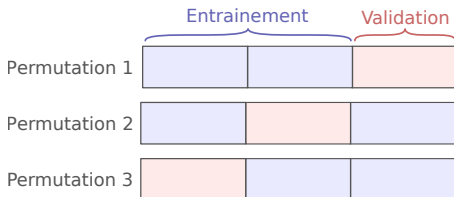
→ **Validation croisée**

Validation croisée

- Séparation du jeu de données en 2 : entraînement et test.
Jeu de test conservé à part
Séparation du jeu d'entraînement en k plis.

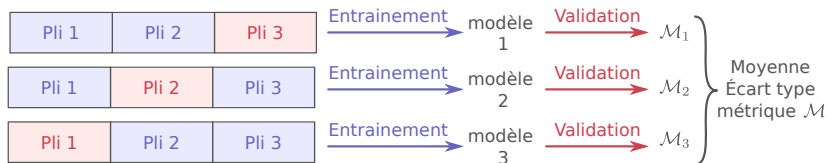


- Génération de k permutations composées d'un pli de validation et de $k - 1$ plis d'entraînement.



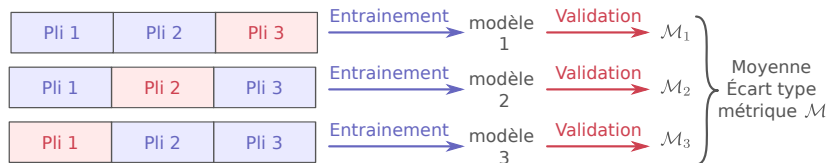
Validation croisée

- Pour chaque permutation
 - ▶ Entraînements sur les plis d'entraînements
 - ▶ Calcul des métriques sur le pli de validation
- Calcul de la moyenne et de l'écart-type des métriques sur les k permutations



Validation croisée

- Pour chaque permutation
 - ▶ Entraînements sur les plis d'entraînements
 - ▶ Calcul des métriques sur le pli de validation
- Calcul de la moyenne et de l'écart-type des métriques sur les k permutations



- Sélection de modèle par validation croisée :
 - ▶ Répétition du processus pour différents jeux d'hyperparamètres
 - ▶ Sélection du meilleur jeu d'hyperparamètres
 - ▶ Entraînement d'un modèle avec ce jeu d'hyperparamètres sur tout le jeu d'entraînement
- Évaluation finale sur le jeu de test

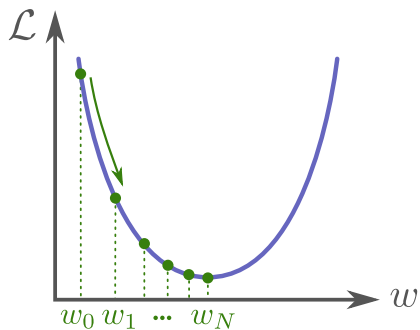
A. Entraînement

B. Évaluation

C. Influence des hyperparamètres

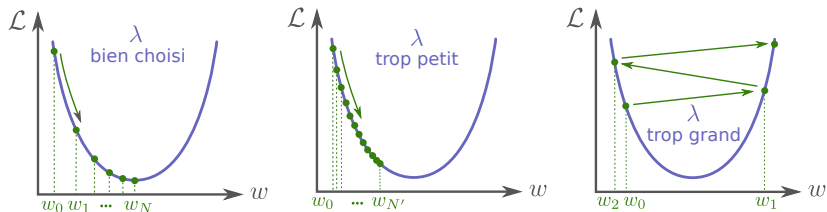
D. Présentation du TP

Influence du learning rate



Learning rate, λ , influe sur la convergence de l'apprentissage.

Influence du learning rate

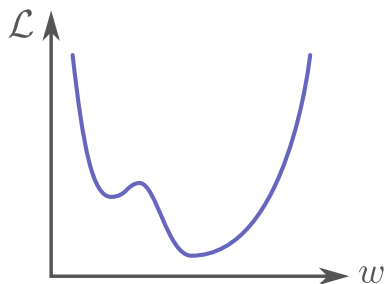


Learning rate, λ , influe sur la convergence de l'apprentissage :

- λ petit \rightarrow convergence lente
- λ grand \rightarrow l'apprentissage peut ne pas converger vers une solution

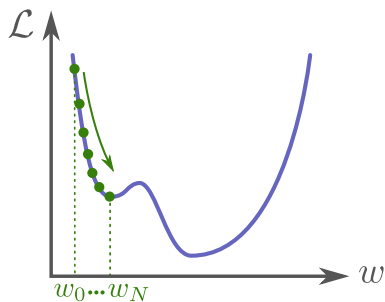
Influence du learning rate - cas non convexe

En pratique, la loss n'est pas une fonction convexe et présente donc plusieurs minima locaux.



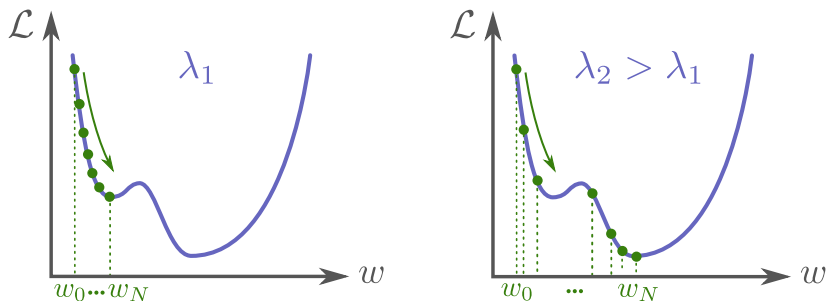
Influence du learning rate - cas non convexe

En pratique, la loss n'est pas une fonction convexe et présente donc plusieurs minima locaux.



Influence du learning rate - cas non convexe

En pratique, la loss n'est pas une fonction convexe et présente donc plusieurs minima locaux.



Learning rate, λ , influe sur la convergence de l'apprentissage :

- λ petit \rightarrow convergence lente, l'apprentissage peut rester coincé dans un minimum local
- λ grand \rightarrow Apprentissage plus instable, peut ne pas converger
Exploration d'un espace plus grand de paramètres
(et de solutions) possible

Learning rate decay

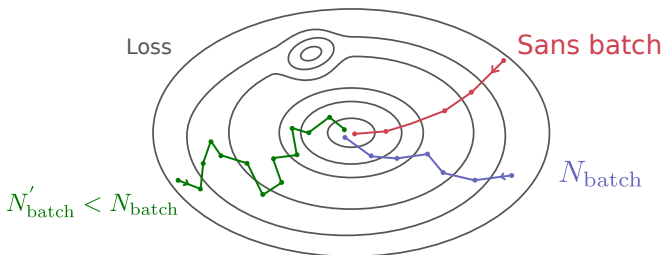
- **Learning rate decay** : Décroissance du learning rate au cours des epochs.
- **Intérêt** :
 - ▶ Début d'apprentissage : Convergence plus rapide et potentiellement exploration d'un espace plus grand de paramètres
 - ▶ Fin d'apprentissage : Convergence plus fine vers un minimum, stabilisation de l'entraînement.

Learning rate decay

- **Learning rate decay** : Décroissance du learning rate au cours des epochs.
- **Intérêt** :
 - ▶ Début d'apprentissage : Convergence plus rapide et potentiellement exploration d'un espace plus grand de paramètres
 - ▶ Fin d'apprentissage : Convergence plus fine vers un minimum, stabilisation de l'entraînement.
- **Plusieurs stratégies** :
 - ▶ Décroissance en fonction du nombre d'epoch (linéairement, exponentiellement...)
 - ▶ Décroissance lorsque la loss de validation stagne
- Remarque : Certains optimiseurs adaptent automatiquement le learning rate durant l'optimisation (e.g. Adam)

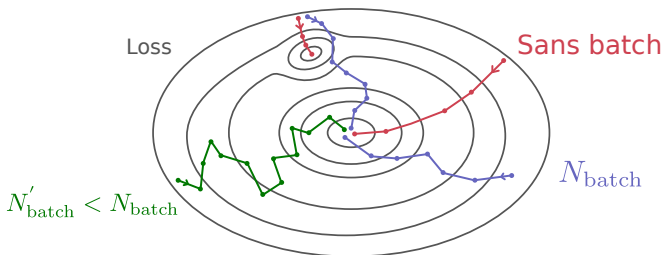
Taille de batch N_{batch}

- Influe principalement sur la quantité de mémoire utilisée et la stabilité de l'apprentissage.
 - ▶ Petite taille de batch : Moins de mémoire utilisée, apprentissage plus instable
 - ▶ Grande taille de batch : Plus de mémoire utilisée, apprentissage plus stable



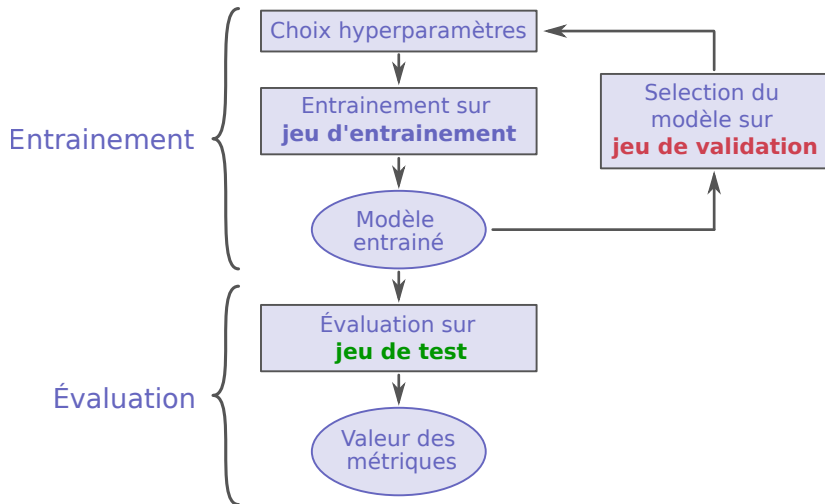
Taille de batch N_{batch}

- Influe principalement sur la quantité de mémoire utilisée et la stabilité de l'apprentissage.
 - ▶ Petite taille de batch : Moins de mémoire utilisée, apprentissage plus instable
 - ▶ Grande taille de batch : Plus de mémoire utilisée, apprentissage plus stable



- Peut également jouer le rôle de régularisation
 - ▶ Réduire la taille de batch peut permettre à l'apprentissage d'éviter des minima locaux

Conclusion



A. Entraînement

B. Évaluation

C. Influence des hyperparamètres

D. Présentation du TP

Entraînement de réseaux de neurones pour de la classification d'images

- Sur deux applications
 - ▶ Reconnaissance de coupes d'images du cerveau humain
 - ▶ Reconnaissance de vêtements et accessoires de mode
- Avec deux types d'architectures
 - ▶ MLP
 - ▶ CNN

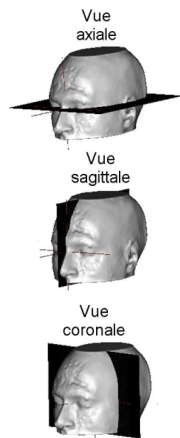
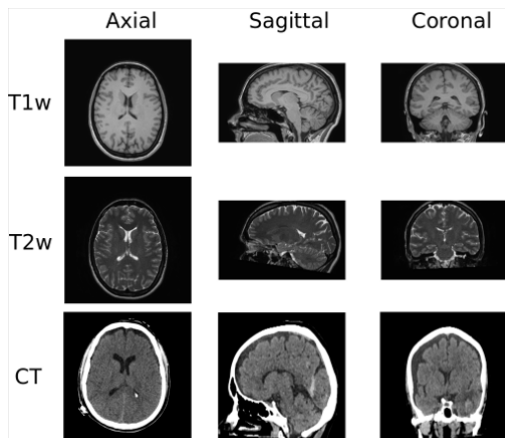
Objectifs :

- Manipuler le pipeline complet d'entraînement / évaluation
- Comparer différentes architectures et applications
- Observer et analyser l'influence de plusieurs hyperparamètres

Application 1 : Coupes d'images du cerveau

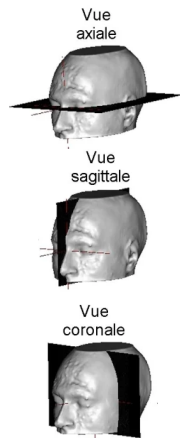
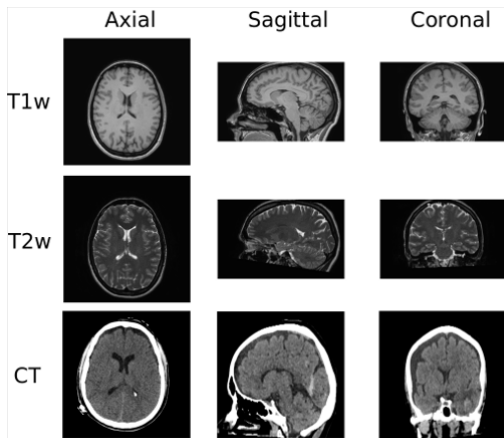
- Base de données d'images du cerveau acquises selon 3 modalités (IRM T1, IRM T2, scanner) et dans 3 plans de coupe (axial, sagittal, coronal)

→ **9 classes différentes**



Application 1 : Coupes d'images du cerveau

- Objectif : Reconnaître dans quelle modalité et dans quel plan de coupe une image a été acquise.



Application 2 : Images de vêtements et accessoires de mode

- Base de données libre [FashionMNIST](#) contenant des images 2D de vêtements et accessoires de mode réparties en 10 classes :



Application 2 : Images de vêtements et accessoires de mode

- Objectif : Reconnaître le type de vêtement ou accessoire à partir d'une image

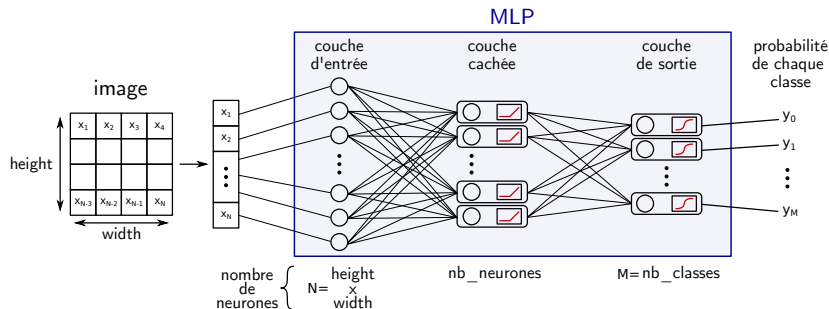


Comparaison des bases de données

| | Médicale | FashionMNIST |
|-------------------|----------------|----------------|
| Nombre d'images | 21 314 | 70 000 |
| Taille des images | 64 × 64 pixels | 28 × 28 pixels |
| Nombre de classes | 9 | 10 |

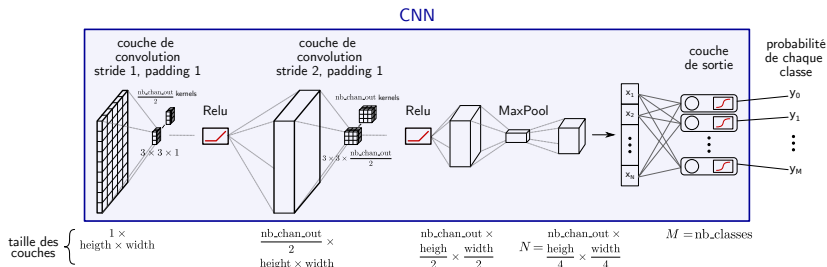
- Bases de données différentes, mais même type d'application
- Possibilité d'utiliser les mêmes architectures aux variations d'entrées et sorties près

Architecture MLP



- Couche cachée : Fully-connected + ReLU
- Couche de sortie : Fully connected + Softmax (logsoftmax)
- Loss : Negative log likelihood
- Sortie : y_i "Probabilité" que l'image d'entrée soit de la classe i
En pratique $y_i \in] - \infty, 0]$. Le label prédit est celui de la classe associée à la plus grande valeur y_i .

Architecture CNN



- Couche 1 : Convolution + ReLU
- Couche 2 : Convolution + ReLU
- Couche 3 : Max pooling
- Couche de sortie : Fully connected + Softmax (logsoftmax)
- Loss : Negative log likelihood
- Sortie : y_i "Probabilité" que l'image d'entrée soit de la classe i